

# ТЕРМИЧЕСКИЕ СВОЙСТВА БИОПОЛИМЕРОВ

И.В. Довгань

(Одесская Государственная Академия Строительства и Архитектуры,  
Одесса, Украина)

Размягчение лигнинов при химической переработке древесины и другого растительного сырья имеет важное значение. В аморфных полимерах основной температурный переход связывают с сегментальной подвижностью макромолекул. Сведения о релаксационных процессах в лигнинах отрывочны, а конкретные данные о температурных переходах  $T_g$  различаются в зависимости от метода выделения препаратов и методики исследования [2,6,8]. Естественно ожидать, что строение лигнина (соотношение фенилпропановых единиц, димерных структур, степень конденсированности и др.) будет оказывать влияние на гибкость макромолекул в конформационных превращениях.

Растворимые препараты лигнина представляют собой фракцию с более низкой молекулярной массой и отсутствием сетчатой структуры [7]. Вместе с тем, препараты лигнина Бъеркмана, а также лигнина Пеппера считаются наиболее близкими к природному лигнину [2,7]. Их изучение представляет интерес для оценки термомеханических свойств лигнина в растительных тканях, а также технических лигнинах, предназначенных для переработки. В настоящей работе рассмотрены растворимые в диоксане препараты лигнина, выделенные из древесины и водорослей. Такие препараты характеризуются различным соотношением фенилпропановых структурных единиц (ФПЕ).

В качестве исходного сырья для выделения препаратов лигнина использовали древесину ели (*Picea excelsa*) и березы (*Betula verrucosa*), а также водоросли цистозиру (*Cystoseira barbata*) и зостеру (*Zostera noltii*). Препараты лигнина получали путем виброразмола по Бъеркману [9] (ЛМР) и ацидолиза в токе азота по методу Пеппера [11] (ДЛА). В них определяли метоксильные, карбонильные и гидроксильные группы [1]. Для изучения молекулярно-массового распределения применяли метод эксклюзионной жидкостной хроматографии на гелесферон Р-1000 (зернение менее 25 мкм). Элюент и растворитель — диметилформамид, для подавления полиэлектролитных эффектов добавляли по 0,03 моль/л  $H_3PO_4$  и LiBr [5]. Термомеханический анализ (ТМ-анализ) производили методом изодинамического нагрева [4]. Образец в виде порошка засыпали в ячейку держателя, уплотняли и выдерживали под давлением (10 кПа) для снятия внутренних

напряжений. Скорость нагрева 1 град/мин. Точность регистрации деформаций по перемещению пуансона составляет 0,7 мкм. Значения  $T_n$  находили по излому термомеханической кривой (ТМ-кривой) по данным трех параллельных испытаний. Термообработку препаратов проводили при 150 °С в течение 2 ч. Нитробензольное окисление (НБО) в щелочной среде осуществляли известным методом [10] с отгонкой продуктов восстановления нитробензола. Состав продуктов окисления анализировали методом газожидкостной хроматографии [3]; идентификацию их проводили по времени удерживания и путем подсадки эталонных образцов.

ТАБЛИЦА 1

Характеристика образцов

Номер образца	Растение	Препаратор Легнина	Молекулярная масса			Содержание функциональных групп, %			Массовая доля углеводов, %
			$\overline{M}_w$	$\overline{M}_n$	$\overline{M}_w / \overline{M}_n$	$OCH_3^-$	$OH^-_{\text{общ}}$	$CO^-$	
1	Береза	ЛМР	7 400	4 400	1,7	19,4	11,2	3,1	2,93
2	Береза	ДЛА	8 300	4 500	1,8	21,7	10,6	3,2	2,10
3	Ель	ЛМР	6 800	4 070	1,7	15,2	11,9	3,1	2,04
4	Ель	ДЛА	7 100	4 000	1,8	15,9	11,7	3,3	1,71
5	Цистозира	ЛМР	9 100	4 500	2,0	7,0	12,4	8,2	2,82
6	Цистозира	ДЛА	10 400	4 700	2,2	7,2	11,5	8,7	2,15
7	Зостера	ЛМР	8 100	4 500	1,8	4,6	11,0	6,3	2,73
8	Зостера	ДЛА	9 000	4 700	1,9	4,8	10,8	6,4	2,06

Характеристика исходных образцов лигнина приведена в таблице 1. ТМ-кривые препаратов ЛМР и ДЛА березы обнаруживают принципиальные различия (рис. 1). Если ход кривой 2 характеризуется одним  $T_n$  при 130 °С, то для кривой 1 характерны два участка размягчения, начинающиеся при разных температурах:  $T_{n1}=95$  °С и  $T_{n2}=112$  °С. Такое поведение образца, начиная с  $T_{n2}$ , обусловлено развитием конформационных процессов, когда рост деформации сжатия при изодинамическом нагреве затухает из-за возникновения сетчатых структур, тормозящих размягчение. При достижении  $T_{n3}$  кривая идет обычным образом.

Препаратуре ДЛА присущ только один  $T_n$  (кривая 2), значения которого выше  $T_n$  препарата ЛМР (кривая 1). Ход кривой как бы “не замечает” отмеченных выше превращений. Это отличие обусловлено методикой выделения препарата ДЛА, предусматривающей нагрев при 95 °С в кислой среде в течение 45 мин., сопровождаемый конденсационными процессами. На это указывает большая полидисперсность препаратов ДЛА (табл. 1).

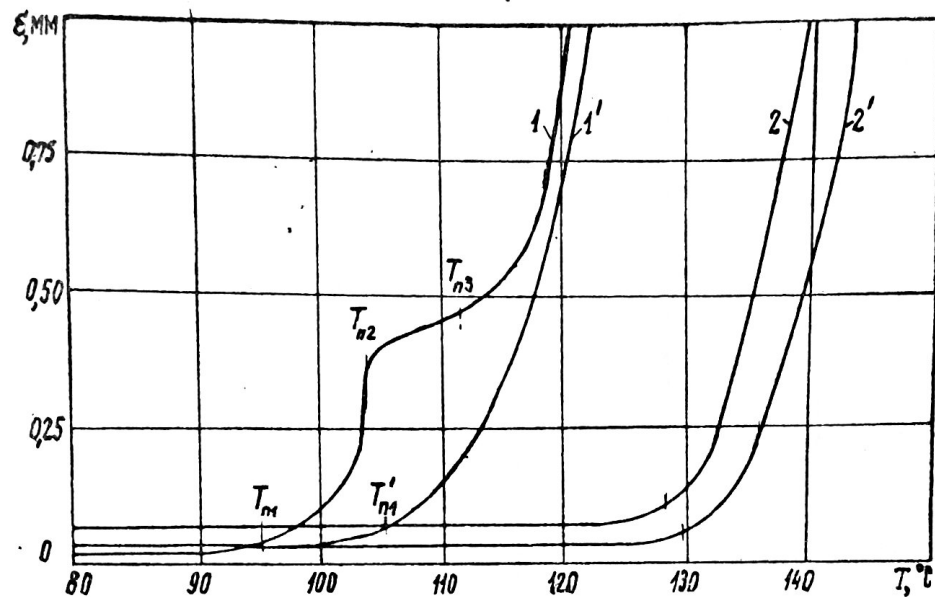


Рис. 1. ТМ-кривые препаратов лигнина бересы (1, 2) и тех же образцов, снятых повторно (1', 2'): 1, 1' — препарат ЛМР; 2, 2' — препарат ДЛА.

Для удобства обсуждения температурный переход при повторном нагреве обозначим  $T'_{nl}$ , а при ТМ-анализе образцов после термообработки —  $T''_{nl}$ . При достижении  $T_{n3}$  во время повторного анализа ЛМР участок конденсации на ТМ-кривой не проявляется. Соответственно  $T'_{nl}$  сдвигается в сторону более высоких значений температуры и составляет 108 °С; у ДЛА этот сдвиг несуществен и обусловлен в основном влажностью образцов (у исходного препарата — 5,9 %, у образца повторного нагрева — около 1 %).

Результаты исследования, полученные на препаратах лигнина бересы, подтверждены данными ТМ-анализа препаратов лигнина ели и водорослей (табл. 2). Оказалось, что независимо от источника сырья на всех ТМ-кривых ЛМР обнаруживается участок, соответствующий конденсационным процессам в лигнине и исчезающий при нагревании (рис. 2). Препараты ДЛА всех образцов не обнаруживают двухстадийного размягчения и характеризуются одним значением  $T_n$  (табл. 2). В процессе теплового воздействия при ТМ-анализе значительных химических изменений у препаратов ДЛА не происходит, повторный ход ТМ-кривой близок к исходному, молекулярная масса изменяется мало. И даже

термообработка при 150°C в течение 2 ч мало влияет на температуру размягчения ДЛА древесины (130, 132, 135°C — для березы и 117, 120, 125°C — для ели), причем ход ТМ-кривых у препаратов ДЛА и ЛМР становится практически одинаковым.

ТАБЛИЦА 2

Температурные переходы, ° С, и молекулярные массы препаратов лигнина

Номер образца	$T_{n1}$	$T_{n2}$	$T_{n3}$	$T'_{n1}$	$T''_{n1}$	$M_w$	$M_n$	$M_w/M_n$
1	95	104	112	108	130	9 000	4 600	2,0
2	130	—	—	132	135	9 100	4 800	1,9
3	88	95	105	105	120	8 100	4 200	1,9
4	117	—	—	120	125	8 000	4 500	1,8
5	81	86	90	90	110	10 600	5 100	2,1
6	83	—	—	87	112	11 000	5 000	2,2
7	64	68	80	75	92	9 400	4 900	1,9
8	70	—	—	74	97	10 100	5 000	2,0

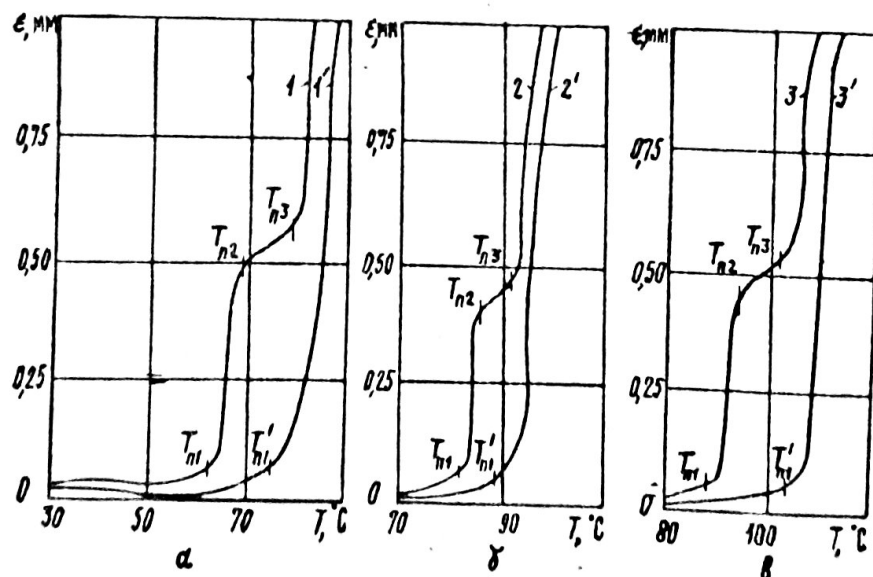


Рис. 2. ТМ-кривые препаратов ЛМР зостеры (а), цистозиры (б) и ели (в) (1, 2, 3) и тех же образцов, снятых повторно (1', 2', 3')

Препараты лигнина водорослей в условиях термообработки несколько повышают  $T'_{n1}$ , оказываясь более чувствительными к нагреванию, чем препараты древесины. Такая особенность может быть обусловлена возрастанием функциональности бензольного кольца

в конденсационных процессах в ряду сирингил-, гваяцил- и *n*-оксифенилпропановых единиц. Отметим, что массовая доля  $\text{OCH}_3$ -групп лигнина соотносится с соответствующими значениями  $T_n$ , как в ряду препаратов ЛМР, так и ДЛА. Для иллюстрации отмеченного фактора на рис. 3 показана эта взаимосвязь температурных переходов у соответствующих препаратов (кривые 1 и 3), а также у препаратов ЛМР после нагревания, когда значения  $T_n$  возрастают.

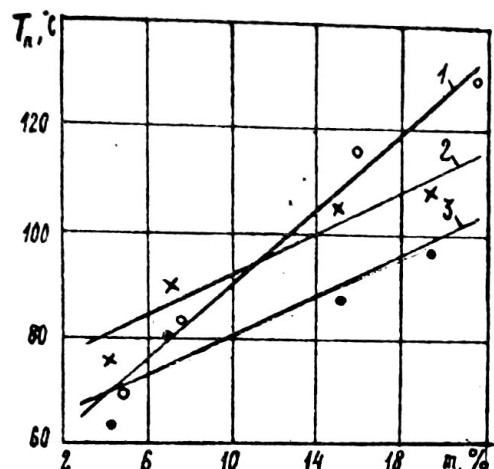


Рис. 3. Связь между  $T_n$  и массовой долей метоксильных групп препаратов: 1 — ДЛА; 2 — то же, после нагрева; 3 — ЛМР

По смыслу сегментальной подвижности, возникающей в фрагментах лигнина с ростом температуры,  $\text{OCH}_3$ -группы должны вносить существенный вклад в стерические затруднения, вследствие чего с ростом их доли требуются большие энергозатраты для конформационных превращений лигнина. Однако ожидать тесной корреляции ( $r \rightarrow 1$ ) между этими параметрами не следует из-за вклада других составляющих. Гидроксильные и карбонильные группы не обнаруживают корреляции с  $T_n$ .

Считается, что одним из методов изучения процессов конденсации лигнина является НБО в щелочной среде. Результаты анализа продуктов НБО исходных препаратов ЛМР и образцов лигнина после ТМ-анализа приведены в табл. 3. Уменьшение выхода ванилина и суммарного выхода продуктов окисления в результате НБО указывает на правомерность отнесения участка ТМ-кривой  $T_{n3} — T_{n2}$  к конденсационным процессам. После ТМ-анализа по данным табл. 3 происходит снижение массовой доли препаратов лигнина древесины на 7...11 %, а для лигнина водорослей — на 17...43 %. Такое различие служит указанием на более интенсивное протекание конденсации лигнина при нагревании препаратов водорослей.

Тот факт, что при нагревании ЛМР протекают химические изменения, дополняется данными о молекулярно-массовом распределении исследуемых препаратов (рис. 4, см. табл. 2) и повышении их полидисперсности, а также согласуется с ростом значений  $T_{n1}$ .

## Выводы

На образцах лигнина древесины и водорослей установлено различие препаратов ЛМР и ДЛА в отношении их размягчения при нагревании. Препараты ЛМР проявляют сегментальную подвижность макромолекул при более низкой температуре, но имеют четко выраженный температурный участок конденсационных превращений, отсутствующий у ДЛА. Это является отражением большей реакционной способности препаратов ЛМР. Отмечено влияние соотношения ФИЕ, оцениваемое по массовой доле  $\text{OSiH}_3$ -групп, на температуру размягчения препаратов.

ТАБЛИЦА 3

Состав, % в смеси, продуктов нитробензольного окисления препаратов ЛМР

Номер образца	<i>n</i> -окси-бензальдегид	Ванилин	Сиреневый альдегид	<i>n</i> -окси-бензойная кислота	Ванилиновая кислота	Сиреневая кислота	Сумма
1	—	7,64 5,71	22,36 20,93	—	0,96 0,81	2,12 2,01	33,08 29,46
3	Следы	22,91 21,04	—	Следы	9,40 9,11	—	32,31 30,15
5	1,84 1,49	6,61 4,98	—	0,98 0,89	3,50 3,36	—	12,93 10,72
7	0,87 0,47	3,78 2,18	0,40 0,29	0,15 0,10	1,38 1,19	—	6,58 4,23

*Примечание.* В числителе — данные для исходного препарата лигнина, в знаменателе — после его ГМ-анализа.

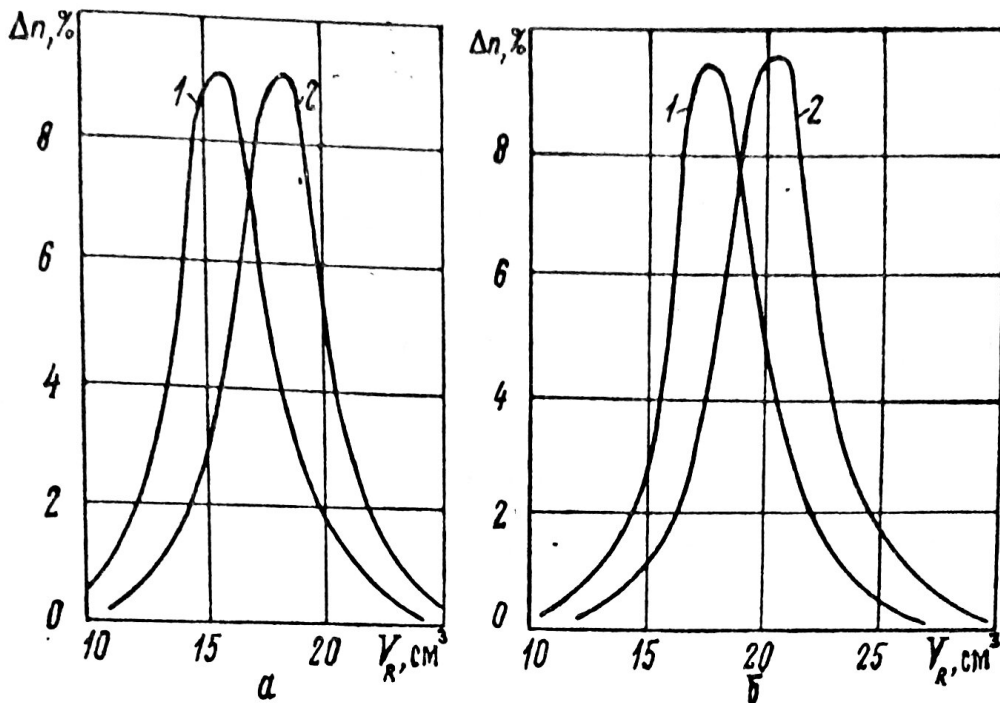


Рис. 4. Гель-хроматограммы препаратов ЛМР бересы (а) и ели (б): 1 — после нагревания; 2 — исходные

#### Литература

1. Закис Г.Ф. Функциональный анализ лигнинов и их производных. — Рига: Зинатне, 1987. — 230 с.
2. Лиgнины (Структура, свойства и реакции) / Под ред. К.В. Сарканена и К.Х. Людвига; пер. с англ. А.В. Оболенской. — М.: Лесн. пром-сть, 1975. — 632 с.
3. Новиков А.В., Хохолко С.В. Усовершенствованная методика прямого газохроматографического определения продуктов нитробензольного окисления лигнина // Химия древесины. — 1986. — № 4. — с. 86-91.
4. Оболенская А.В., Ельницкая З.П., Леонович А.А. Лабораторные работы по химии древесины и целлюлозы. — М.: Экология, 1991. — 320 с.
5. Полиэлектролитные эффекты эксклюзионной хроматографии лигнинов, лигноуглеводных комплексов и полисахаридов / П.П. Нефедов, А.Е. Русаков, М.А. Иванов и др. // Химия древесины. — 1981. — № 4. — с. 66-72.
6. Сухая Т.В., Пиуновская Л.П., Леонович А.А. Термомеханическое исследования изменений лигнина при производстве древесноволокнистых плит // Лесн. журн. — 1978. — № 1. — с. 126-131. — (Изв. высш. учеб. заведений).
7. Фенгел Д., Вегенер Г. Древесина (Химия, ультраструктура, реакции) / Пер. с англ. А.В. Оболенской, З.П. Ельницкой; под ред. А.А. Леоновича. — М.: Лесн. пром-сть, 1988. — 512 с.

8. Якобсон М.К., Эриньш П.П. Температурные переходы компонентов лигноуглеводной матрицы и древесины // Химия древесины. — 1981. — № 4. — с. 3-18.
9. Bjorkman A.M/ Studies on finely divided wood. Pt. I. Extraction of lignin with neutral solvents // Svensk papperstidn. — 1956. — a. 59, N 13. — p. 477-487.
10. Hartley L.D. Improved method for estimation by gas-liquid chromatography of lignin degradation products // J/ Chromatography. — 1971. — Vol. 54, N 3. — p. 335-344.
11. Papper J.M., Baylis P.E.T., Adler E. The isolation and properties of lignin obtained by the acidolysis of spruce and aspen wood in dioxane — water medium // Canad. J. Chem. — 1959. — Vol. 37, N 8. — p. 1241-1248.